

Four à induction

1. Tout plan contenant l'axe de la spire Oz est un plan d'anti-symétrie de la distribution du courant donc le champ \vec{B} appartient à chacun de ces plans donc :

$$\vec{B}(M) = B(M) \vec{u}_z$$

2.



Voir aussi cours.

D'après la loi de Biot & Savart le module du champ élémentaire $d\vec{B}(M)$ créé en M , par un élément de courant $I dl$ en un point P , est donné par :

$$dB = \frac{\mu_0 I}{4\pi \|\vec{PM}\|^2} dl \quad (\text{car } \vec{PM} \perp d\vec{l}) \text{ et}$$

puisque le champ total est suivant Oz (par symétrie), alors la composante utile est :

$$dB_z = dB \sin \theta \text{ donc :}$$

$$dB_z = \frac{\mu_0 I}{4\pi \|\vec{PM}\|^2} dl \sin \theta$$

$$\text{Or } \sin \theta = \frac{a}{PM} \text{ soit :}$$

$$B_z = \frac{\mu_0 I}{4\pi} \sin^3 \theta \oint dl \text{ finalement :}$$

$$\vec{B}(M) = \frac{\mu_0 I}{2a} \sin^3 \theta \vec{u}_z$$

3.

En O on a $z=0$ et donc $\theta = \frac{\pi}{2}$ et donc

$$B(O) = \frac{\mu_0 I}{2a} \text{ ce qui donne :}$$

$$B(M) = B(O) \sin^3 \theta = B(O) \frac{a^3}{(a^2 + z^2)^{\frac{3}{2}}}$$

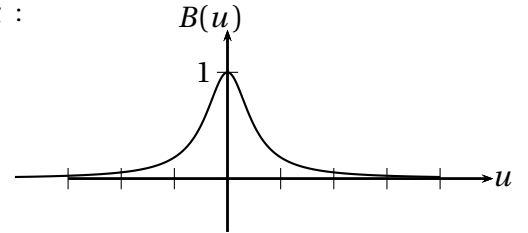
$$B(M) = B(O) \sin^3 \theta = B(O) \frac{1}{(1 + (\frac{z}{a})^2)^{\frac{3}{2}}}$$

soit :

$$B(M) = \frac{B(O)}{(1 + u^2)^{\frac{3}{2}}}$$

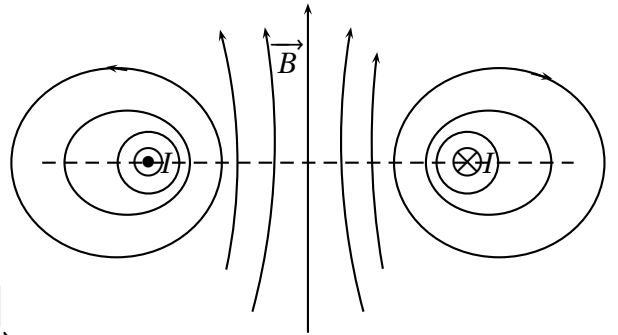
4.

La fonction $B(M) = B(u)$ est paire et maximale au centre et $B(u)$ tend vers zéro quand $|z| \rightarrow \infty$, le graphe est le suivant :



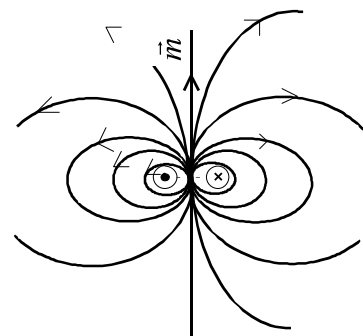
5.

Les lignes de champ se referment sur elles mêmes et le champ n'est pas uniforme et il est normale au plan de la spire car c'est un plan de symétrie.



6.

À grande distance de la spire celle-ci se comporte comme un dipôle magnétique et donc les lignes de champ auront l'allure suivante :



II.

Champ magnétique d'une bobine finie

7.

La spire d'épaisseur dz' contribue au champ totale par le vecteur champ

élémentaire $d\vec{B}$ tel que :

$$d\vec{B} = dN \frac{\mu_0 I}{2a} \sin^3 \theta \vec{u}_z \text{ (superposition)}$$

où dN est le nombre de spire contenues dans la tranche dz' . Or on a : N spire répartie régulièrement sur H et dN sur dz' alors :

$$dN = \frac{dz'}{H} N \text{ finalement :}$$

$$d\vec{B} = \frac{\mu_0 I N dz'}{2aH} \sin^3 \theta$$

8.

on a : $\cot \theta = \frac{z-z'}{a}$ (θ ici est algébrique)

$$-\frac{d\theta}{\sin^2 \theta} = -\frac{dz'}{a} \text{ donc :}$$

$d\vec{B} = \frac{\mu_0 N I}{2H} \sin \theta d\theta$ et donc le champ totale est :

$$\vec{B}(M) = \frac{\mu_0 N I}{2H} \int_{\theta_1}^{\theta_2} \sin \theta d\theta \vec{u}_z \text{ soit :}$$

$$\vec{B}(M) = \frac{\mu_0 N I}{2H} (\cos \theta_1 - \cos \theta_2) \vec{u}_z$$

9.

Si la bobine est supposée infinie alors $\theta_1 \rightarrow 0$ et $\theta_2 \rightarrow \pi$ donc :

$$\vec{B}_\infty(M) = \mu_0 \frac{N}{H} I$$

10.

Au centre de la bobine on a :

$$(\cos \theta_1)_0 = \frac{\frac{H}{2}}{\sqrt{a^2 + (\frac{H}{2})^2}}$$

$$\text{et } (\cos(\pi - \theta_2))_0 = \frac{\frac{H}{2}}{\sqrt{a^2 + (\frac{H}{2})^2}}$$

donc $(\cos \theta_2)_0 = -\frac{\frac{H}{2}}{\sqrt{a^2 + (\frac{H}{2})^2}}$ et donc le

champ au centre de la bobine est :

$$B(0) = \frac{\mu_0 N I}{2H} \frac{H}{\sqrt{a^2 + (\frac{H}{2})^2}} = \frac{\mu_0 N I}{2\sqrt{a^2 + (\frac{H}{2})^2}}$$

$$\text{soit : } B(0) = \frac{\mu_0 N I}{2a\sqrt{1 + (\frac{H}{2a})^2}}$$

Pour que $B(0)$ soit égale à $B_\infty(0)$ à 10^{-3} près il faut que :

$$B(0) = B_\infty(0) + 10^{-3} B_\infty(0) \text{ donc :}$$

$$\mu_0 \frac{N}{H} I = (1 + 10^{-3}) \frac{\mu_0 N I}{2a\sqrt{1 + (\frac{H}{2a})^2}} \text{ soit :}$$

$$2 \frac{a}{H} \sqrt{1 + (\frac{H}{2a})^2} = (1 + 10^{-3})$$

$$\Rightarrow 1 + (\frac{H}{2a})^2 = (\frac{H}{2a})^2 (1 + 10^{-3})^2 \simeq (\frac{H}{2a})^2 (1 + 2 \cdot 10^{-3})$$

donc :

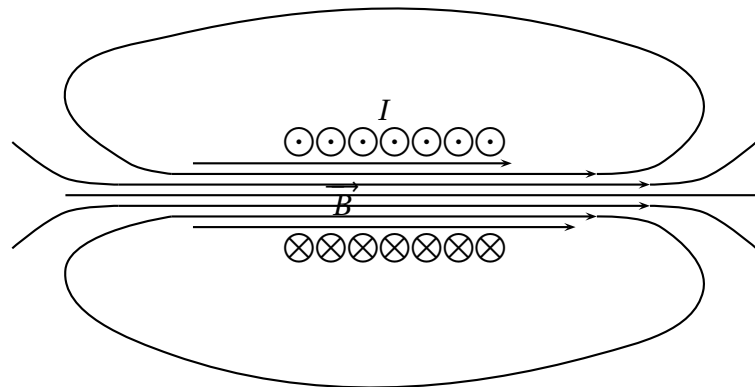
$$\frac{a}{H} = \sqrt{\frac{10^{-3}}{2}} \text{ finalement il faut au moins}$$

que :

$$\frac{a}{H} = 2,2 \cdot 10^{-2}$$

11.

Les lignes de champ de la bobine finie sont représentées dans le schéma suivant :



Ces lignes de champ peuvent être visualisées à l'aide de la poudre de fer saupoudrée sur une vitre transparente

12. Champ magnétique d'une bobine infinie

12.

tout plan normale à l'axe de la bobine est un plan de symétrie donc \vec{B} est normale à ce plan c-à-d : $\vec{B}(M) = B(M) \vec{u}_z$. Toute rotation et translation le long de l'axe de la bobine laisse la distribution de courant invariante donc $B(M)$ ne dépend ni de z ni de θ en coordonnées cylindriques, donc il ne dépend que de r , c-à-d : $B(M) = B(r)$

13.

Soit $\Gamma = (PQRSP)$ un contour réctangulaire tel que $\vec{PQ} = l \vec{u}_z$ est le segment sur l'axe Oz et $\vec{RS} = -l \vec{u}_z$ le segment qui lui est parallèle.

posons $\vec{QR} = \vec{PS} = r \vec{u}_r$ avec $r < a$.

Le théorème d'Ampère appliqué à \vec{B} le long de Γ donne :

$$\oint_{\Gamma} \vec{B} \cdot d\vec{\ell} = 0$$

car Γ n'enlace aucun courant.

$$\oint_{\Gamma} \vec{B} \cdot d\vec{\ell} = B(0)l - B(r)l = 0$$

car $\vec{B}(M) = B(r) \vec{u}_z$ donc :

$$\vec{B}(r) = \vec{B}(0) = \mu_0 \frac{N}{H} I \vec{u}_z$$

et donc $\vec{B} = \vec{B}_{int}$ est uniforme à l'intérieur de la bobine infinie

$$\vec{j}_s = \frac{N}{H} I \vec{u}_\theta$$

14.

Choisissons dans ce cas le contour $\Gamma = (PQRSP)$ tel que $PQ = \ell \vec{u}_z$ est sur l'axe et $RS = -\ell \vec{u}_z$ est en dehors de la bobine, alors le théorème d'ampère le long de ce contour s'écrit par :

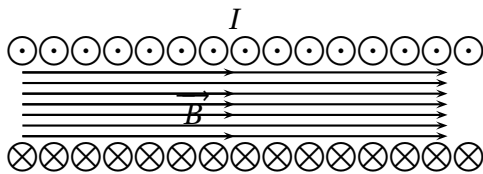
$\oint_{\Gamma} \vec{B} \cdot d\vec{\ell} = \mu_0 I_{enlac}$ où $I_{enlac} = n'I$ est le courant enlacé par Γ et n' est le nombre de spire contenues dans ℓ , donc :

$B(0)\ell - B_{ext}(r)\ell = \mu_0 n'I$ soit :
 $\mu_0 \frac{N}{H} I = B_{ext}(r) + \mu_0 \frac{n'}{\ell} I$ et puisque $\frac{N}{H} = \frac{n'}{\ell}$
 (spires régulièrement espacées) alors :

$$\vec{B}_{ext}(r) = \vec{0}$$

15.

Pour une bobine supposée infinie les lignes de champ ont l'allure suivante :



16.

Le coefficient d'inductance L est le coefficient de proportionnalité entre le flux propre d'un circuit et le courant qui le traverse.

$$\Phi_p = LI$$

Pour la bobine infinie le flux propre $\Phi = N \cdot B \cdot \pi a^2$ et $B = \mu_0 \frac{N}{H} I$ donc :

$$L = \mu_0 \frac{N^2}{H} \pi a^2$$

Elle ne dépend que de la géométrie de la bobine

17.

Par définition :

$$dI_{total} = \vec{j}_s \cdot d\vec{\ell} \vec{u}_\theta \text{ donc}$$

$$I_{total} = \int_0^H j_s \vec{u}_\theta \cdot dz' \vec{u}_\theta$$

donc $I_{total} = NI = j_s H$ soit :

18.

La force électromotrice induite e dans un circuit, est égale au signe près, à la dérivée par rapport au temps du flux du champ magnétique à travers ce circuit. Les causes peuvent être :

- variation, en fonction du temps, du champ magnétique à travers un circuit fixe (cas de Neuman)
- Mouvement d'un circuit dans un champ magnétique permanent (cas de Lorentz).

19.

Le courant $i(t)$ crée un champ magnétique variable qui donne naissance dans le conducteur à une force électromotrice telle $e = -\frac{d\Phi}{dt}$ et donc à un champ

électromoteur E_i tel que $e = \oint \vec{E}_i \cdot d\vec{\ell}$.

ce qu'on peut résumer par la relation de Maxwell-Faraday : $\text{rot} \vec{E}_i = -\frac{\partial \vec{B}}{\partial t}$.

D'après le principe de Curie, les symétries et invariances des causes (ici $i(t)$) doivent se retrouver dans les effets (ici courants induits) donc tout plan contenant Oz est un plan d'antisymétrie, donc \vec{E}_i est normale à ce plan et alors il est orthoradiale : $\vec{E}_i = E_i \vec{u}_\theta$ en coordonnées cylindriques.

Toute rotation et translation le long de l'axe Oz laissent les courants induits invariants, donc E_i ne dépend que de r en ces coordonnées : $\vec{E}_i = \vec{E}_i(r)$.

20.

La forme intégrale de l'équation de Maxwell-Faraday s'obtient pour un circuit \mathcal{C} , sous forme d'un cercle de rayon r , par :

$$\text{rot} \vec{E}_i = -\frac{\partial \vec{B}}{\partial t}$$

$$\Rightarrow \oint_{\mathcal{C}} \vec{E}_i(r) \cdot d\vec{\ell} = -\frac{\partial}{\partial t} \iint_{\Sigma} \vec{B} \cdot d\vec{S}$$

où Σ est toute surface ouverte s'appuyant sur le contour \mathcal{C} , on choisit la surface de section droite du cercle de rayon r donc :

$$2\pi r E_i(r, t) = -\frac{\partial B_a(t)}{\partial t} \times \pi r^2 \text{ donc :}$$

$$\vec{E}_i(r, t) = -\frac{r}{2} \frac{\partial B_a(t)}{\partial t} \vec{u}_\theta$$

$$\vec{E}_i(r, t) = \frac{1}{2} r \omega B_0 \sin \omega t \vec{u}_\theta$$

V. Application : four à induction

21.

L'équation de Maxwell - Ampere s'écrit :

$$\text{rot } \vec{B} = \mu_0 (\vec{j} + \vec{j}_D) \text{ où } \vec{j}_D = \epsilon_0 \frac{\partial \vec{E}}{\partial t}, \text{ à}$$

la fréquence $f = \frac{\omega}{2\pi} = 1 \text{ kHz}$ on peut négliger j_D devant j en effet :

j_D est négligeable devant j si :

$$\frac{j_D}{j} \ll 1 \text{ c-à-d } \frac{\|\epsilon_0 \frac{\partial \vec{E}}{\partial t}\|}{\|\gamma \vec{E}\|} \ll 1$$

Grâce au théorème de Fourier et à la linéarité des équation de Maxwell régissant le champ E , prenons $\vec{E} = \vec{E}_0 e^{i\omega t}$

donc la condition $\frac{j_D}{j} \ll 1$ devient :

$$\frac{\epsilon_0 \omega}{\gamma} \ll 1 \text{ soit } f \ll \frac{\gamma}{2\pi \epsilon_0}$$

et sachant que $\mu_0 \epsilon_0 c^2 = 1$ alors :

$f \ll \frac{\mu_0 \gamma c^2}{2\pi}$ dans notre cas on a :

$$\frac{\mu_0 \gamma c^2}{2\pi} = \frac{4\pi 10^{-7} \times 6.10^7 \times (3.10^8)^2}{2\pi} \simeq 10^{18}$$

Donc $f = 1 \text{ kHz}$ est largement inférieure à cette valeur, et donc $j_D \ll j$ et par conséquent l'équation de Maxwell - Ampere se simplifie en :

$$\text{rot } \vec{B} = \mu_0 \vec{j}$$

Cette approximation est appelée : approximation des régimes quasi-statique (ou quasi-permanent).

22.1.

La bobine est supposée infinie donc le champ magnétique, en ARQS, à l'intérieur de celle-ci s'écrit :

$$\vec{B}_a(t) = \mu_0 \frac{N}{H} i(t) \vec{u}_z$$

soit $\vec{B}_a(t) = \mu_0 \frac{N}{H} I_0 \cos \omega t \vec{u}_z$ c-à-d :

$$\vec{B}_a(t) = B_0 \cos \omega t \vec{u}_z \text{ où } B_0 = \mu_0 \frac{N}{H} I_0$$

22.2.

D'après la question 20. on a :

$$\vec{E}_i(r, t) = -\frac{r}{2} \frac{\partial B_a(t)}{\partial t} \vec{u}_\theta \text{ donc :}$$

$$\vec{E}_i(r, t) = -\frac{r}{2} \times (-\omega B_0 \sin \omega t) \vec{u}_\theta \text{ soit :}$$

22.3.

Le champ électrique induit E_i agit sur les porteurs de charge du barreau conducteur et donc ceux-ci subissent la force $\vec{f} = q \vec{E}_i$ et donc une vitesse de dérive prend naissance suivant la même direction que \vec{E}_i , c-à-d \vec{u}_θ et par voie de conséquence une densité volumique de courant apparaît au sein du conducteur.

Cette densité de courant donne naissance par effet Joule à un échauffement du barreau.

22.4.

Le conducteur est Ohmique donc d'après la loi d'Ohm on a :

$\vec{j} = \gamma \vec{E}_i$ soit :

$$\vec{j} = \frac{1}{2} \gamma r \omega B_0 \sin \omega t \vec{u}_\theta$$

22.5.

La puissance volumique dissipée par effet Joule est donnée par définition par :

$p_J = \vec{j} \cdot \vec{E}_i$ et puisque $\vec{j} = \gamma \vec{E}_i$ alors celle-ci devient : $p_J = \gamma E_i^2$ soit pour tout $r \leq a$ on a :

$$p_J = \frac{1}{4} \gamma \omega^2 B_0^2 r^2 \sin^2 \omega t$$

Sa valeur moyenne sur une période est :

$$\langle p_J \rangle = \frac{1}{T} \int_0^T p_J dt \text{ soit}$$

$$\langle p_J \rangle = \frac{1}{4} \gamma \omega^2 B_0^2 r^2 \frac{1}{T} \int_0^T \sin^2 \omega t dt$$

et sachant que $\frac{1}{T} \int_0^T \sin^2 \omega t dt = \frac{1}{2}$ alors :

$$\langle p_J \rangle = \frac{1}{8} \gamma \omega^2 B_0^2 r^2$$

On remarque bien que cette puissance volumique moyenne est non homogène dans le conducteur puisque elle dépend de r

22.6.

La puissance moyenne dissipée par effet Joule s'écrit alors par :

$$\langle P_J \rangle = \iiint_V \langle p_J \rangle d\tau$$

où V est le volume totale du conduc-

teur et $d\tau = r dr d\theta dz$, soit en coordonnées cylindriques :

$$\langle P_J \rangle = \frac{1}{8} \gamma \omega^2 B_0^2 \int_0^{2\pi} d\theta \int_0^H dz \int_0^a r^2 r dr$$

c-à-d :

$$\langle P_J \rangle = \frac{1}{8} \gamma \omega^2 B_0^2 \times 2\pi \times H \times \frac{a^4}{4}$$

finalement :

$$\langle P_J \rangle = \frac{1}{16} \gamma \omega^2 B_0^2 \pi H a^4$$

Cette puissance est proportionnelle à la conductivité du matériau utilisé et au volume de celui-ci ($\pi a^2 \times H$) ainsi qu'au carré de la fréquence du champ magnétique appliqué.

Ce qui explique le choix de $f = 1 \text{ kHz}$ au lieu de la fréquence de secteur 50 Hz (disponible sans faire appel à un oscillateur annexe)

en effet :

$$\frac{\langle P_J(1 \text{ kHz}) \rangle}{\langle P_J(50 \text{ Hz}) \rangle} = \frac{(10^3)^2}{(50)^2} = 400$$

22.7.

L'intérêt pratique du dispositif est de chauffer le barreau conducteur utilisé voire le faire fondre.



Cette technique est utilisée pour homogénéiser, par chauffage, les impuretés dans certains matériaux ou alliages (recherche fondamentale entre autre).

22.8.

La puissance est proportionnelle à a^4 donc si on fait diminuer a , la puissance diminuera d'une façon notable.

On a montré que $\langle P_J \rangle$ est proportionnelle à r^2 donc pour $r = a = \frac{b}{n}$ elle sera proportionnelle à $\frac{1}{n^2}$

23.1.

D'après le principe de Curie, la symétrie et invariances des causes, ici les courants induits, doivent se retrouver dans les effets, ici : $B_i(M)$, donc puisque tout plan normale à l'axe Oz et passant par M est un plan de symétrie de la distribution de courants induits, alors $\vec{B}_i(M)$ est normale à ce plan donc :

$\vec{B}_i = B_i(M) \vec{u}_z$ et puisque la distribution de courant est invariante par rotation et translation le long de l'axe Oz alors $B_i(M)$ ne dépend que de r en coordonnées cylindriques, finalement :

$$\vec{B}_i = B(r, t) \vec{u}_z$$

(la dépendance du temps découle du principe de Curie)

23.2.

$$\text{rot } \vec{B}_i = \mu_0 \vec{j}$$

⚠ l'expression du rotationnel en coordonnées cylindriques n'a pas été donnée (exprès pour départager les élèves) Puisque $B = B(r) \vec{u}_z$ alors :

$$\text{rot } \vec{B} = \left(-\frac{\partial B}{\partial r}\right) \vec{u}_\theta$$

soit :

$$B_i(r, t) = -\frac{1}{4} \mu_0 \gamma r^2 \omega B_0 \sin \omega t + cte$$

et puisque $B_i(r = a^+) = B_i(r = a^-)$ alors $B_i(r = a) = 0$ (on a continuité de B car la distribution est volumique).

donc :

$$\vec{B}_i(r, t) = \frac{1}{4} \mu_0 \gamma (a^2 - r^2) \omega B_0 \sin \omega t \vec{u}_z$$

$$|\vec{B}_i| \ll |\vec{B}_a|$$

$$\text{si } \frac{1}{4} \mu_0 \gamma (a^2 - r^2) \omega B_0 \sin \omega t \ll B_0 \cos \omega t$$

donc si :

La valeur maximale de B_i correspond à $r = 0$ (sur l'axe), et puisque $\sin \omega t < 1$ et $\cos \omega t < 1$ alors :

$$\text{Il faut que : } \frac{1}{4} \mu_0 \gamma a^2 \omega \ll 1$$

c-à-d :

$$a^2 \ll \frac{4}{\mu_0 \gamma \omega} = a_\ell^2 \text{ donc si } r \ll a_\ell \text{ où}$$

$$a_\ell = \frac{2}{\sqrt{\mu_0 \gamma \omega}} \text{ avec les valeurs numé-}$$

$$\text{riques du texte on a : } a_\ell = 4 \mu\text{m}$$

23.3.

Puisque $a = 10 \text{ cm} \gg a_\ell$ on ne doit pas négliger B_i devant B_a et par conséquent l'hypothèse n'est pas vérifiée

23.4.

On a $\text{rot } \vec{B} = \mu_0 \vec{j}$ (puisque on est toujours dans l'ARQS) et $\vec{j} = \gamma \vec{E}$ et sachant que :

$$\text{rot } \text{rot } \vec{B} = \text{grad } \text{div } \vec{B} - \Delta \vec{B}$$

$$\text{et } \text{div } \vec{B} = 0 \text{ alors :}$$

$$-\Delta \vec{B} = \mu_0 \gamma \text{rot } \vec{E} \text{ et puisque}$$

$$\text{rot } \vec{E} = -\frac{\partial \vec{B}}{\partial t} \text{ alors } \Delta \vec{B} = \mu_0 \gamma \frac{\partial \vec{B}}{\partial t} \text{ et par}$$

identification avec le laplacien proposé par le texte (puisque son expression n'a pas été explicitement donné) on a :

$$\frac{1}{r} \frac{\partial B}{\partial r} + \frac{\partial^2 B}{\partial r^2} = \mu_0 \gamma \frac{\partial B}{\partial t}$$

On s'attendra à une solution de type effet de peau (décroissance exponentielle par rapport à r)

$$f_0 = \frac{1}{2\pi\sqrt{LC}} \quad (\text{celle de RLC})$$

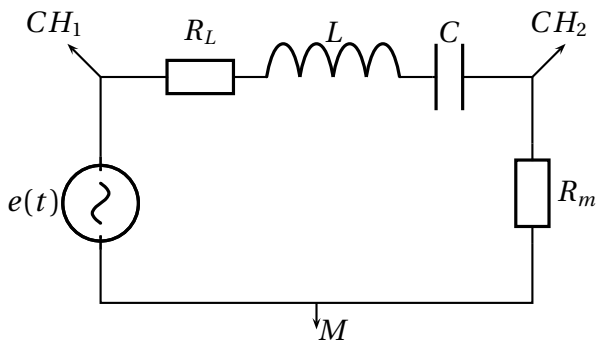
à la résonance on a : $L\omega_0 = \frac{1}{C\omega_0}$ donc :

$$I_0 = \frac{U}{R_L + R_m}$$

VI. Détermination expérimentale...

24.

Les branchement de l'oscilloscope sont indiqués par CH_1 et CH_2 et la masse commune par M .



25.

Le mode AC ici est préférable (si le signal est de valeur moyenne non nulle), car on a besoin de mesurer la valeur maximale de la tension ($V_{eff} = \frac{V_{max}}{\sqrt{2}}$ pour le signal sinusoïdale) et la mesure de la valeur maximale est encore précise si on la mesure de crête à crête et la diviser en suite en deux.

26.

Pour mesurer la fréquence de résonance rapidement et d'une façon précise on règle l'oscilloscope en mode X-Y, puis on fait varier la fréquence du GBF et lorsque l'ellipse devient droite à ce moment la fréquence est celle de résonance.

27.

En notation complexe on a : $\underline{u} = \underline{Z}i$ donc $\underline{u} = (R_L + R_m) + j(L\omega - \frac{1}{C\omega})i$

$$\Rightarrow I = \frac{U}{\sqrt{(R_L + R_m)^2 + (L\omega - \frac{1}{C\omega})^2}}$$

$$I = \frac{U}{\sqrt{(R_L + R_m)^2 + (2\pi fL - \frac{1}{2\pi fC})^2}}$$

La fréquence de résonance est donc :

28.

À la résonance on $LC(2\pi f_0)^2 = 1$ donc :

$$L = \frac{1}{4\pi^2 f_0^2 C}$$

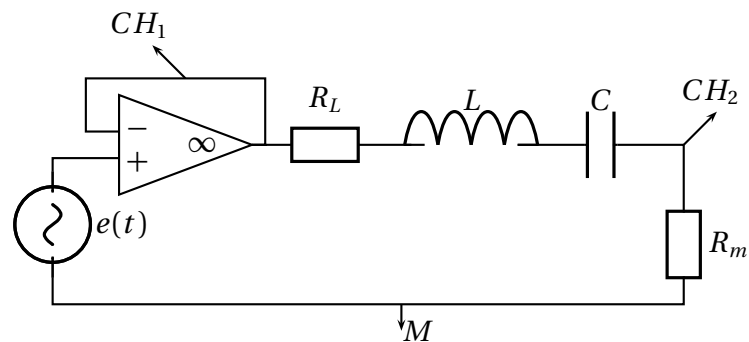
Et on a aussi à cette fréquence $U = (R_L + R_m)I$ et $U' = R_m I$ donc :

$$R_L = R_m \left(\frac{U}{U'} - 1 \right)$$

29.

Dans ce cas la tension aux bornes du GBF est : $u_g(t) = u(t) - R_g i(t)$ et donc elle varie en fonction de f .

Pour remédier à ce défaut on utilise un amplificateur opérationnel monté en suiveur (si la tension d'entrée est faible) ou un transformateur d'isolement : (nombre de spire du primaire et du secondaire sont identiques) si les courants sont forts.



VII. Étude de l'alimentation du four

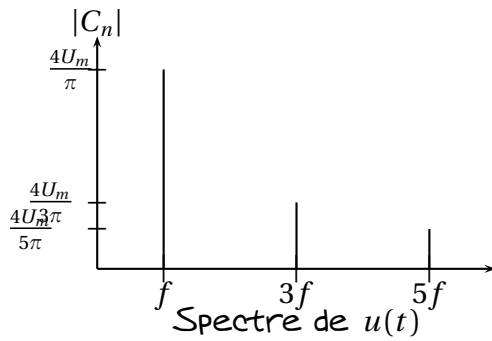
30.

Le rôle du condensateur dans ce cas est de pouvoir réaliser le phénomène de résonance pour le transfert de puissance soit maximale, ce qui n'est pas le cas dans son absence.

31.

Le signal est périodique donc décomposable en série de Fourier il est en plus impaire et de valeur moyenne nulle c'est pourquoi les termes en cosinus sont nuls.

Le spectre du signal est donc :



32.

$$U_1 = \frac{4U_m}{\pi\sqrt{2}} \text{ soit } \boxed{U_1 = 180 \text{ V}}$$

$$U_3 = \frac{4U_m}{3\pi\sqrt{2}} \text{ soit } \boxed{U_3 = 60 \text{ V}}$$

33.

L'impédance complexe de la charge totale est :

$$\underline{Z} = R_L + j(L\omega - \frac{1}{C\omega}) \text{ et son module est :}$$

$$Z = \sqrt{R_L^2 + (L\omega - \frac{1}{C\omega})^2} \text{ donc :}$$

$$Z_1 = \sqrt{R_L^2 + (L\omega - \frac{1}{C\omega})^2}$$

et

$$Z_3 = \sqrt{R_L^2 + (3L\omega - \frac{1}{3C\omega})^2}$$

$$Z_1 = \sqrt{(20 \cdot 10^{-3})^2 + (2\pi \cdot 10^3 \times 70 \cdot 10^{-6} - \frac{1}{2\pi \cdot 10^3 \times 0,5 \cdot 10^{-3}})^2}$$

$$Z_3 = \sqrt{(20 \cdot 10^{-3})^2 + (6\pi \cdot 10^3 \times 70 \cdot 10^{-6} - \frac{1}{6\pi \cdot 10^3 \times 0,5 \cdot 10^{-3}})^2}$$

$$\boxed{Z_1 = 0,123 \Omega} \text{ et } \boxed{Z_3 = 1,21 \Omega}$$

34.

$$U_1 = Z_1 I_1 \text{ et } U_3 = Z_3 I_3 \text{ donc :}$$

$$I_{1/3} = \frac{Z_3 U_1}{Z_1 U_3} \text{ ce qui donne avec les va-}$$

leurs calculées auparavant :

$$I_{1/3} = \frac{1,21 \times 180}{0,123 \times 60}$$

$$\boxed{I_{1/3} = 29,5}$$

Conclusion :

Puisque les harmoniques décroissent en $\frac{1}{2n+1}$ et $I_3 \ll I_1$ on peut dire que seul le fondamental est à tenir en compte, dans ce cas $u(t) \approx \frac{4U_m}{\pi} \sin(2\pi ft)$

$$\text{donc } \underline{i}(t) = \frac{u(t)}{Z_1} \text{ avec } \mathcal{I}m(\underline{u}(t)) = u(t),$$

soit :

$$\underline{i}(t) = \frac{4U_m}{\pi(R_L + j(L\omega - \frac{1}{C\omega}))} e^{j(2\pi ft)}$$

$$i(t) = \frac{4U_m}{\pi\sqrt{R_L^2 + (L\omega - \frac{1}{C\omega})^2}} e^{j(2\pi ft + \varphi)}$$

$$\text{où } \varphi = -\arctan\left(\frac{L\omega - \frac{1}{C\omega}}{R_L}\right)$$

$$i(t) = \frac{4U_m}{\pi\sqrt{R_L^2 + (L\omega - \frac{1}{C\omega})^2}} \sin(2\pi ft + \varphi)$$

Donc :

$$\boxed{I_o = \frac{4U_m}{\pi\sqrt{R_L^2 + (L\omega - \frac{1}{C\omega})^2}}}$$

et

$$\boxed{\varphi = \arctan\left(\frac{\frac{1}{C\omega} - L\omega}{R_L}\right)}$$

35.

La puissance active est donc :

$$P = UI \cos \varphi \text{ donc } P = U_1 I_1 \cos \varphi = U_1 \frac{I_o}{\sqrt{2}} \cos \varphi.$$

ce qui donne :

d'après l'expression de \underline{Z} on a :

$$\cos \varphi = \frac{R_L}{\sqrt{R_L^2 + (\frac{1}{C\omega} - L\omega)^2}} \text{ donc :}$$

$$P = \frac{4U_m}{\pi\sqrt{2}} \times \frac{4U_m}{\sqrt{2}\pi\sqrt{R_L^2 + (L\omega - \frac{1}{C\omega})^2}} \times \frac{R_L}{\sqrt{R_L^2 + (\frac{1}{C\omega} - L\omega)^2}}$$

Donc :

$$P = \frac{8U_m^2 R_L}{\pi^2 (R_L^2 + (\frac{1}{C\omega} - L\omega)^2)}$$

A.N :

$$\boxed{P = 43 \text{ W}}$$